

高等学校試用教科书

电 机 学

下 册

浙江 大学 编



中国工业出版社

本书为电机学下册，由第三篇开始，共分四篇。主要内容是：交流电机理论的一般問題；異步电机；同步电机；交流換向器电机。

本书可做为高等学校电机与电器专业試用教科书，也可供电机与电器方面科学研究人员和工程技术人员参考。

电 机 学

下 册
浙江 大 学 編

*

第一机械工业部教材編審委員會編輯（北京復興門外三里河第一机械工业部）

中国工业出版社出版（北京佟麟閣路丙10号）

（北京市书刊出版事業許可証出字第110号）

中国工业出版社第三印刷厂印刷

新华书店北京发行所发行·各地新华书店經售

*

开本787×1092¹/16·印张21³/4·字数523,000

1962年6月北京第一版·1962年6月北京第一次印刷

印数0001—7,290·定价(10—5)2.55元

*

统一书号：K 15165·1336(—机—242)

目 录

第三篇 交流电机理論的

一般問題

导言	1
第十八章 交流电机的繞組和电勢	2
I 交流整數槽繞組	2
18—1 概述	2
18—2 三相双层整数槽迭繞組	4
18—3 三相双层整数槽波繞組	6
18—4 三相单层繞組	8
18—5 单相交流繞組	10
II 交流整數槽繞組的电勢	11
18—6 在正弦分布磁场下的繞組电勢	11
18—7 在非正弦分布磁场下的繞組电勢	16
18—8 繩組的星形和三角形連接	18
18—9 減少繞組电勢中高次諧波的方法	19
III 交流分數槽繞組及其电勢	20
18—10 概述	20
18—11 三相分數槽繞組的联接方式	21
18—12 分數槽繞組的分布系数及每相电勢	26
18—13 齒諧波电勢	27
18—14 分數槽繞組的用途和作用	30
IV 电机繞組的絕緣	31
18—15 电机繞組的絕緣	31
第十九章 交流繞組的磁勢和漏抗	37
19—1 概述	37
19—2 单相繞組的磁勢，脉振磁勢	38
19—3 三相繞組的磁勢，旋轉磁勢	43
19—4 三相分數槽繞組的磁勢	49
19—5 交流电机中的漏磁场和漏抗	49
19—6 漏抗計算	50
第二十章 交流电机的冷却方式	59
20—1 概述	59
20—2 交流电机的空气冷却方式	60
20—3 氢气冷却方式	63
20—4 液体冷却方式	66

20—5 电液联合冷却方式

第四篇 异步电机

第二十一章 异步电机的基本結構和原理	71
21—1 概述	71
21—2 异步电动机的分类	72
21—3 异步电动机的主要结构	74
21—4 轉子静止时异步电机的运行	79
21—5 轉子旋转时异步电机的运行原理	84
21—6 鼠籠式异步电动机的运行	91
第二十二章 异步电机的电磁轉矩和机械特性	97
22—1 概述	97
22—2 异步电动机运行时的能量轉換过程	97
22—3 异步电动机的电磁轉矩公式	100
22—4 异步电动机的轉矩与轉差率的关系(机械特性)	103
22—5 异步电动机的附加轉矩	106
第二十三章 异步电机的圆图	110
23—1 概述	110
23—2 简化的电流圆图	111
23—3 从简化的电流圆图求取异步电机的运行数据和特性曲线	113
23—4 较准确的电流圆图	117
23—5 异步电机参数变化时电流向量的轨迹	118
第二十四章 槽步电动机的起动	121
24—1 概述	121
24—2 起动过程	121
24—3 鼠籠式电动机的起动	125
24—4 线绕式电动机的起动	127
第二十五章 深槽电动机和双鼠籠电动机	131
25—1 深槽式电动机	131
25—2 双鼠籠电动机	133

第二十六章	三相異步电动机的調速	135
26—1	概述	135
26—2	改变极对数调节电动机的轉速	135
26—3	改变电源频率调节电动机的轉速	138
26—4	改变轉子电阻调节电动机的轉速	139
26—5	異步电动机串級联接調速	140
第二十七章	三相異步电机在发电机和制动器情况下运行	143
27—1	異步电机在发电机情况下运行	143
27—2	自激異步发电机	145
27—3	異步电机的电制动	147
第二十八章	单相異步电动机	149
28—1	三相異步电动机在三相不平衡电压下的运行	149
28—2	单相異步电动机的运行原理	151
28—3	单相異步电动机的等值电路	152
28—4	单相異步电动机的起动方法及主要型式	154
28—5	单相異步电动机的应用	156
第二十九章	異步电动机的特殊运行状态和特殊类型	157
29—1	概述	157
29—2	異步电动机在非額定电压下的运行	158
29—3	異步电动机在频率不等于額定频率时的运行情况	159
29—4	異步电机运行于同步耦合系统——自整角机	159
29—5	空心轉子異步电机	162
29—6	迴轉变压器	163
第五篇	同步电机	
第三十章	同步电机概論	165
30—1	同步电机构造的基本形式及其应用范围	165
30—2	汽輪发电机的结构	166
30—3	水輪发电机的结构	171
30—4	同步电动机的应用及結構概述	175
第三十一章	同步电机的电枢反应	178
31—1	概述	178
31—2	三相同步发电机在对称負載下的电枢反应	179
31—3	隱极同步机电枢反应的計算	182
31—4	凸极同步机电枢反应的計算——双反应理論	184
31—5	单相电机的电枢反应	188
第三十二章	同步发电机的正常运行	192
32—1	概述	192
32—2	平衡负载下的电勢向量图(ΦΔC图)	193
32—3	持續平衡负载下的同步电机参数的測定	196
32—4	相对单位制	202
32—5	电压变化 ΔU% (亦称电压調整率) 的測定	203
32—6	同步发电机的特性曲綫	206
32—7	同步发电机的損耗与效率	209
第三十三章	同步电机的並联运行	214
33—1	概述	214
33—2	单相发电机的并联运行	214
33—3	三相发电机的并联运行条件	216
33—4	同步发电机的电磁功率、电磁轉矩和功角特性	219
33—5	同步发电机与强大电网并联运行时的稳定性	220
33—6	当改变同步发电机激磁时，发电机与强大电网的并联运行情况	225
33—7	容量相近的少数同步发电机的并联运行	228
第三十四章	同步电动机	233
34—1	由发电机的运行方式过渡到电动机的运行方式	233
34—2	同步电动机正常运行的分析	234

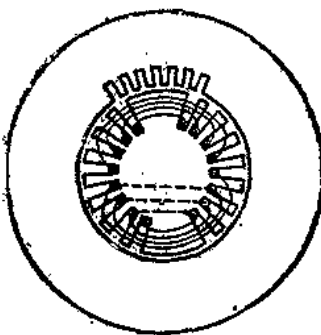
34—3	反应式电动机	240	38—6	单枢换流机的换向特点	304
34—4	同步补偿机	242	38—7	单枢换流机的起动	305
第三十五章 三相同步发电机的不平衡持续短路运行		246	38—8	单枢换流机的特殊运行	306
35—1	概述	246	第六篇 交流换向器电机		
35—2	对于各序电流分量的同步机的阻抗	248	第三十九章 单相换向器电动机 308		
35—3	三相同步发电机的不平衡持续短路	252	39—1	单相换向器电机内的感应电势	308
35—4	不对称负载下运行时的电势向量图	259	39—2	单相串激电动机的作用原理和运用特性	311
第三十六章 同步电机的突然短路		263	39—3	单相换向器电机电枢中的电流分布和换向	315
36—1	概述	263	39—4	普通电动机	318
36—2	同步电机定子绕组在 $\phi_0 = 0$ 时的突然对称短路	263	39—5	推斥电动机的作用原理	319
36—3	当 $\phi_0 = \phi_n$ 时的突然三相短路	269	39—6	推斥电动机的运行性能	320
36—4	突然三相、二相和单相短路时电流的有效值	272	39—7	具有两套电刷及一个定子绕组的推斥电动机	323
36—5	突然短路的时间常数	273	第四十章 多相换向器电动机 324		
36—6	短路电流的效应	275	40—1	多相换向器电机的电刷电势	324
第三十七章 同步电机的振盪		282	40—2	多相换向器电机电枢中的磁势和换向	326
37—1	同步机振盪的基本物理景象	282	40—3	在异步电机副边电路内加入附加电势	329
37—2	同步机在振盪时的转矩方程式	284	40—4	转子馈电的三相并激换向器电机	331
37—3	电机在无穷大电网运行时的自由振盪和强制振盪	287	40—5	定子馈电的三相并激换向器电动机	335
37—4	单机运行时的强制振盪	291	40—6	三相串激换向器电动机	335
第三十八章 单枢换流机		293	第四十一章 异步电机与换向器电机的串级联接 339		
38—1	概述	293	41—1	概述	339
38—2	单枢换流机的结构和工作原理	294	41—2	异步机、单枢换流机和直流电机的串级联接系统(A—0—I—I串级系统)	339
38—3	单枢换流机的电压比和电流比	294	41—3	双边调速的A—0—I—I串级系统	340
38—4	单枢换流机电枢绕组里的总电流及损耗	297	41—4	相位补偿机	341
38—5	单枢换流机的电枢反应及电压调节	303	41—5	转子馈电补偿的异步电动机	343

第三篇 交流电机理論的一般問題

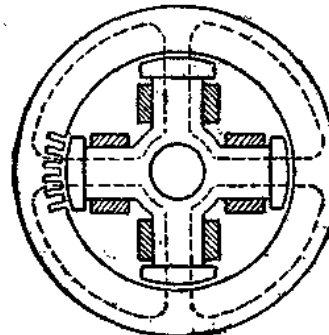
导　　言

交流电机主要分成两大类，即同步电机和異步电机（也称感应电机）。就结构言，任何旋转电机均可大致分为两部分：a) 固定部分，称为定子；b) 转动部分，称为转子。在电机里，装置着导体，产生电势并流通电流以进行机械能和电磁能轉变的部分通称电枢。在同步电机里，通常定子是电枢，而转子繞組是由直流激磁的；在普通異步电机里，转子相当于电枢，而定子繞組則由交流激磁。一般三相的交流电机，无论是同步机或異步机，定子上都装置有三相交流繞組，当通进交流电时，三相合成产生一个空間的旋转磁勢波，此磁勢波的旋转速度（决定于电流频率与磁极对数）叫做同步速度。凡在正常运行情况下，转子速度总是等于同步速度的交流电机称为同步电机，反之，凡转子速度不等于同步速度的交流电机称为異步电机。

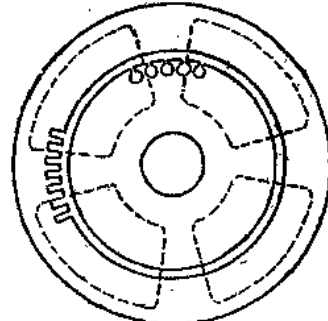
同步电机有两种主要构造型式：隐极式和凸极式。隐极式同步电机通用于汽輪机推动的高速发电机中，这里转子上由于受到很大的机械应力，所以它是做成圆柱形的，直流激磁繞組以分布的形式安放在转子槽內，并用金属槽楔加以固定。凸极式（亦称显极式）同步电机具有显露的磁极，直流激磁繞組是以集中形式繞在转子的磁极鐵心上。同步电机的转子繞組接到直流电源，转子运转在同步速度，故放置在定子槽內的定子繞組将因电磁感应作用而感生电势。異步电机的定子繞組接到交流电源，它从电源引进激磁电流以产生磁通；转子繞組接成为閉合迴路，并不接連电源，它由定子繞組所产生的磁通經感应作用而获得电能。



图(三)-1 2极隐极式同步
电机示意图



图(三)-2 4极凸极式同步
电机示意图



图(三)-3 4极異步电机示意图

图(三)-1为2极隐极式同步电机的示意图，转子上画出激磁繞組，定子上画出相对于转子大齿的一部分槽；图(三)-2为4极凸极式同步电机的示意图，定子上只画出一个磁极下面部分的槽，图中虚线示电机的主磁通磁路。图(三)-3为4极異步电机的示意图，在定子和转子上各画出一部分槽，定子与转子間的气隙环繞整个电机都是均匀的。

同步电机和异步电机在构造和性能上有许多特点，但它们在能量转变的过程中具有一系列共同性的問題。例如，它们的定子繞組一般是由导线对磁场的相对运动而产生三相交流电势；而当此繞組中通过交流电流时都产生三相合成的旋转磁势波和每相单独的漏磁。本篇就是要阐明交流电机中若干共同性的問題：交流繞組、繞組絕緣、电势、磁势、漏抗，以及交流电机的冷却方式，这些問題在以后交流电机运行性能的分析和討論中有着特別重要的意义。

第十八章 交流电机的繞組和电势

I. 交流整数槽繞組

18—1 概述

当交流电机运转时，在其中感应出交流电势并流过交流电的繞組总称为交流繞組（在一般直流电机的电枢繞組元件里也感应出交流电势，但由于换向器的作用繞組电势卻变换为电刷上的直流电压而引出）。本篇有关章节中所論述的交流繞組是限于交流电机的定子繞組，以及和定子繞組相类的如异步电机的繞組轉子繞組。其它如鼠籠繞組和阻尼繞組等特殊型式的交流繞組則将在以后相应的章节中加以論述。

电机繞組是任何电机的最重要部件之一，对于繞組一般都要求其导线具有良好的导电性能，而线圈絕緣却要有足够的絕緣强度，良好的耐热性能或散热能力和机械强度，并在能保证电机效率等性能的基础上爭取得到最高的材料利用率。因此一般交流繞組的导电芯线都是采用銅線或鋁線，而线圈的絕緣层一般采用云母紙、漆布、青壳紙、浸漬过的紗布或玻璃布、塑料等。

为了提高劳动生产率并減輕劳动强度，现代电机的繞組大都采用线模拉制出形状相同的繞組元件（小电机因导线细，可直接在繞線机上繞制），然后把它们一个个嵌入电机铁心的槽中，再按一定方式把它们連接成完整的繞組。繞組元件可能是单匝的或多匝的。当电机容量大时，由于額定电流值很大，如采用单根导线的元件，导线的截面積可能太大，因而很硬，不便繞制。此外由于集肤效应等緣故，也将引起电机較大的附加損耗，使电机效率降低，这时可以采用双股以至多股的导线并联繞成多股的单匝或多匝元件（图18—1）。



图 18—1 繩組元件

a—单股多匝元件；
b—一双股多匝元件

下面我們介紹交流繞組的一些最基本的屬性及繞組的主要分類。

1. 每極每相槽数 在設計多相繞組時，每極每相所占有的槽数是一個重要的數據，此數據普通用字母 q 來代表。如令總槽数為 Z ，磁極對數為 p ，相數為 m ，則得：

$$q = \frac{Z}{2pm} \quad (18-1)$$

交流繞組的每極每相槽数 q 可以為整數，也可以為分數，前者稱為整數槽繞組，後者稱為分數槽繞組。

2. 繞組的節距 与直流電機相同，繞組元件有兩個元件邊，分別嵌入不同槽中，每元件再按一定關係接至其它元件，因此與直流電機一樣，我們可得以下三種節距。

兩個元件邊之間的距離稱作繞組第一節距 y_1 （對於交流電機，此節距有時亦簡寫為 y ，因為其它節距不常談），或簡稱繞組節距。

從第一個元件的末邊到與其連接的第二個元件的起邊間的距離，稱作繞組的第二節距 y_2 。

直接相連的兩個元件的對應邊之間的距離稱作合成節距 y_p 。

同樣地節距雖然代表一個距離，但通常它並不以厘米等長度單位來表達，因為我們感興趣的只是兩元件邊之間所跨的槽数，由它的數值來說明繞組如何布置的實質，所以節距平常均用槽距作為度量單位；例如 $y_1 = 9$ 。有時繞組節距也用極距 τ 的分數來表示，例如 $y_1 = \frac{7}{9}\tau$ ，這是當要說明繞組節距與極距間相比的關係時才用。在工程習慣上也往往採用第一號元件的兩元件邊所放置的槽號來表示繞組節距，例如 $y_1 = 1-10$ ，這和 $y_1 = 9$ 實際上是一樣的。

由於要得到最大的元件電勢，通常總希望兩元件邊的電勢成為同相的相加關係，亦即希望採用整距繞組（即 $y_1 = \tau$ ），但由於某些其它原因（例如為了得到接近於正弦的電勢波形等），在交流電機中常採用短距繞組（即 $y_1 < \tau$ ）。

3. 迭繞和波繞 對於迭繞式和波繞式兩種交流繞組，第一節距 y_1 始是接近於一個極距，使繞組元件能感應出較大的電勢，至於合成節距 y_p 則在兩種繞組是大不相同的。

在迭繞組里，每一元件的末邊均返回至其起邊鄰近的次一個或兩個元件邊（一般也是相鄰的次一個或兩個槽），整個繞組形成環環相迭的形象，故稱迭繞組。與直流機相同，迭繞組各節距之間的關係為：

$$y_1 \approx \frac{s}{2p},$$

$$y_p = y_1 - y_2 = \begin{cases} 1 & (\text{單迭}) \\ 2 & (\text{雙迭}) \end{cases}$$

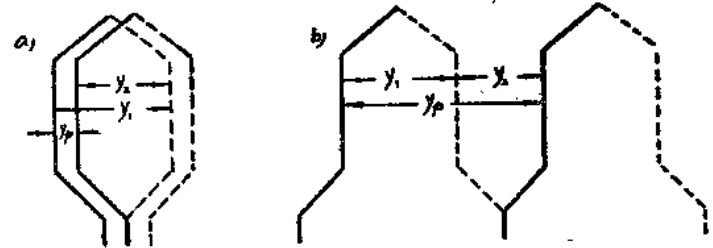


圖 18-2 繞組的節距
a—迭繞組；b—波繞組

上式中 S 代表繞組的元件數。

波繞組則不同，每一元件的末邊，並不返回至其起邊附近，而是繼續前進至距其起邊約一對極距的另一元件的起邊，這樣整個繞組形成波浪邁邁的形象，故稱波繞組。波繞組各節距的關係為：

$$y_1 \approx \frac{S}{2p},$$

$$y_p = y_1 + y_2 \approx \frac{S}{p}.$$

y_p 值只是在 S/p 之值上下；對交流波繞組和直流波繞組而言， y_p 的數值與 S 、 p 的關係是不盡相同的。

在確定繞組的接線圖時，所選取的 q 、 y_1 和 y_p 值是最重要必需數據。

4. 繩組的分類 最常用的交流繞組可以分類如下：以下的分類是按繞組的某一屬性或結構來分的，因此任一分類並不能單獨表徵繞組的全部特點。

(a) 按照電機相數的多少，可分為單相繞組和多相繞組（普通是三相）。

(b) 按照每極每相槓數 q 為整數或分數，而可分作整數槽繞組或分數槽繞組。

(c) 按繞組節距 $y_1 = \tau$ 或 $< \tau$

而可分作整距或短距繞組。

(d) 按繞組元件兩端端布置的不同形式可分為迭繞組和波繞組。

(e) 按繞組在槽中布置的情況可分為單層繞組和雙層繞組。雙層繞組在現代交流電機中應用最廣。

(f) 按繞組元件製成方法的不同可分為繞圓式繞組和杆式（或稱桿條式）繞組。繞圓式繞組的元件繞成整只的線圈，杆式繞組的元件則由半圓式的導杆彼此間用併頭套連接並焊接而成。

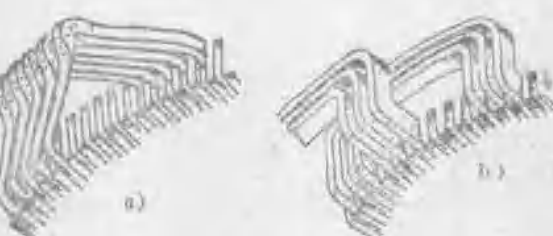


圖 18-3 單層和雙層繞組在槽中的布置
a—雙層的；b—單層的

此外，還可以按繞組的其它特點來分類，這將逐步地在本章中加以闡述。

18-2 三相雙層整數槽迭繞組

交流繞組是由許多線圈所組成，每一線圈只有兩個端點，故相當於一個元件。交流雙層繞組的主要優點為：(a) 全部線圈都是相同的，因而它們的製造適合於生產過程机械化，可以大批生產；(b) 可能選擇最有利的繞組節距，即利用短距，使繞組端部縮短，銅線節省，且電勢波形得以改善（詳後）。

三相雙層迭繞組是一種最常用的交流繞組，圖 18-4，a 示整數槽的 ($q = 整數$) 三相雙層迭繞組的連接方式。

A. 基本概念

參考圖 18-4 a，為簡明起見，取繞組的總槓數為 18，磁極對數等於 1，於是每極每相槓數 $q = 3$ ，是一個整數。先將在一對磁極範圍內的繞組平均分成六個區段，每區段包含 q 個槓，依次命為 A-Z-B-X-C-Y，作為安裝各相繞組的上層線圈位

(即元件边) 的槽。当繞組节距 $y_1 = -\frac{7}{9}$ 选定后，下层綫圈边的位置随着定下来，故所有下层綫圈边也相应地分成六个区段，每一对上下层相应的区段用来安置属于同一相的一組綫圈，它們以其上层区段来命名。然后把属于同一相的一个极性下的繞組区段（例如 A）与另一极性下的繞組区段（例如 X）反接串联起来，再将此时 X、Y、Z 三段繞組的尾端連在一点，即成 Y 接法的三相繞組（如果极对数 $p > 1$ ，則所有同极性下的繞組区段均为正接，異极性下的繞組区段均为反接，直至結束）。这时三相繞組包含的綫圈及其联接次序如下：

A 相 1—2—3—12—11—10；

B 相 7—8—9—18—17—16；

C 相 13—14—15—6—5—4。

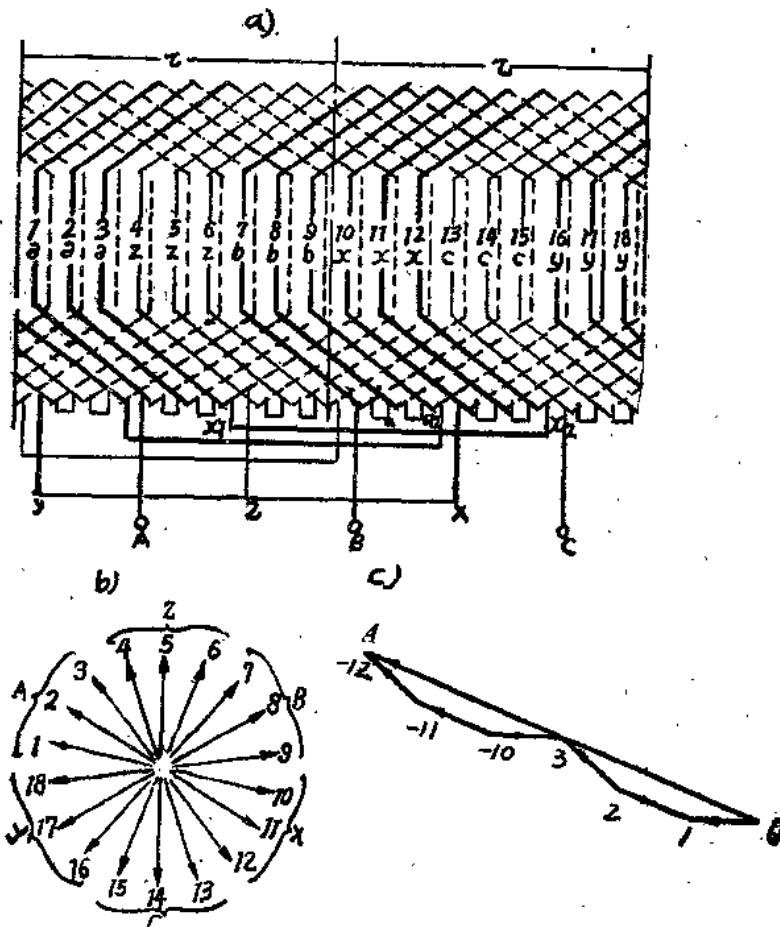


图 18-4 三相双层整数槽迭繞組 (60°相帶)

~ — 展开图；

b — 繩組元件电势向量；

c — A 相电势向量

每相每一个繞組区段的寬度称作相带，由于槽距角

$$\alpha = \frac{p \cdot 360^\circ}{Z},$$

而每相每区段的宽度为 $q\alpha = \frac{Z}{6p} \cdot \alpha = 60^\circ$ ，故此种绕法为 60° 相带，整个绕组共有 $2mp$ 个相带，每一相带内线圈形成一线圈组，任一相均由 $2p$ 个线圈组串联而成，因此并联支路数至多为 $2p$ 条①。

B. 各相绕组的电势向量

电机每对磁极范围内全部绕组元件的电势向量汇合成为一个星形，示于图 18—4 d。由于 A 和 X 相带反接串联的缘故，须把 10、11 和 12 元件的电势向量转过 180° ，再与

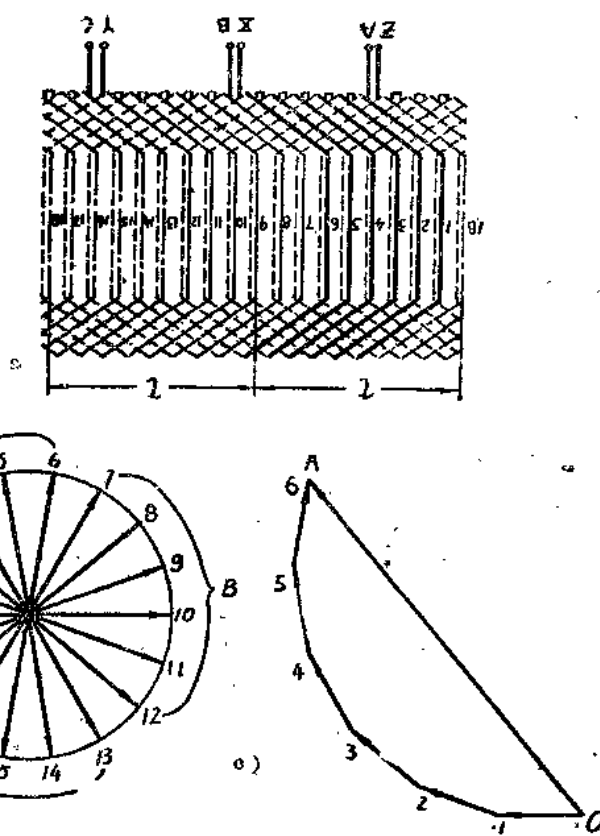


图 18—5 三相双层迭绕组 (120° 相带)

a—展开图；b—绕组元件电势向量；c—A 相电势向量

比较两种绕组的 A 相总电势，可知在同样多的线圈（同样多的用铜量）下，绕成 60° 相带的绕组的电势较 120° 相带的绕组的电势要高出约 1.16 倍。因此，现在三相绕组通常都绕成 60° 相带。

18—3 三相双层整数槽波绕组

三相双层迭绕组是交流绕组中最常用的一种，但在大容量低速水轮发电机中，采用

1、2 和 3 元件的电势向量几何相加，得到 A 相总电势向量 \overline{OA} ，见图 18—4 c；同理可求得其它各相的总电势。如磁极对数大于 1，则各对磁极范围内的电势星形互相重迭。从电势星形可以推出，A、B 和 C 三相电势在数值上相等，在相位上各相差 120° 电角度，这是对三相交流绕组的一个基本的要求。

C. 120° 相带的绕组

如果把处在每一对磁极下的绕组平均分成三个区段，分属于三相，则变为 120° 相带的绕组，如图 18—5 所示。

① 现代巨型二极汽轮发电机中有研究采用并联支路数大于 $2P = 2$ 的特殊绕组連結方法，但此时各支路的电势难以保证完全平衡。

双层波绕组能大量节省线圈组之间的联接线。此外，双层波绕组亦常用于异步电机的线绕转子绕组中。

图18-6示异步电机的线绕转子绕组的展开图，为了清楚起见，仅示出一个相的连接。绕组数据为： $m=3$, $Z=36$, $p=2$, $q=3$ 。取绕组的节距 $y_1=\tau$ （或9槽距）及 $y_p=2\tau$ （或18槽距）。

和18-2节相同，先将各对极下槽数均分为六个区段后，得到属于A相的槽有1—2—3, 10—11—12, 13—20—21和28—29—30，作为安放A相所有线圈（即元件）的上层边的位置。假如槽28的上层线圈边（以后简称28上）为某线圈的一边时，则同一线圈的另一边应在槽1 ($28+y_1=28+9=36+1$) 的下层（以后简称1下）；同理，29上和2下，30上和3下……等分别组成一个线圈的两边。

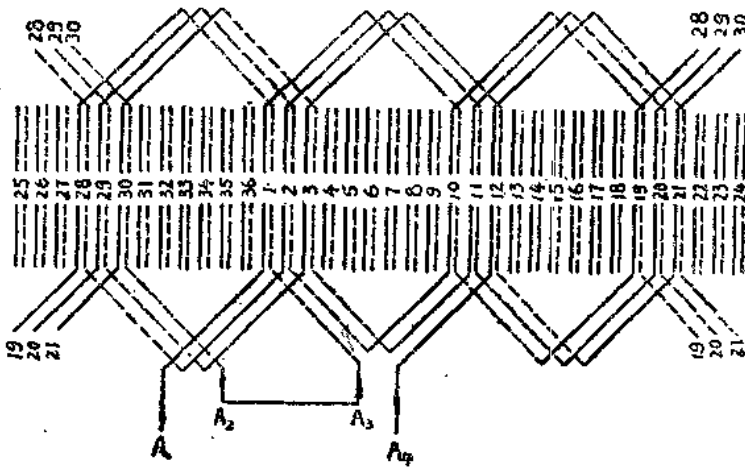


图18-6 三相双层整数槽波绕组

现在让我们以1上作为A相起端 A_1 ，并由此开始绕线，由于合成节距 $y=2\tau$ ，可知每当绕过 p 个线圈后，在电机转子圆周上前进 $2p\tau$ 距离，正好绕行一周，使得最后一线圈的末端又要联到为首的线圈边，形成闭合回路。例如，从1上开始，连接次序为1上—10下—19上—28下—1上（因 $19+y_p=19+18=36+1$ ），这样就不可能继续绕下去。此时，如将这组线圈的最后一个线圈的合成节距人为地放宽一个槽距，使联到线圈边2上，当再绕过了一周（又绕过 p 个线圈），复将最后一个线圈的合成节距人为地放宽一个槽距。依此，便能继续绕下去，其次序如下：

$A_1 - 1\text{上} - 10\text{下} - 19\text{上} - 28\text{下}$
 $\rightarrow 2\text{上} - 11\text{下} - 20\text{上} - 29\text{下}$
 $\rightarrow 3\text{上} - 12\text{下} - 21\text{上} - 30\text{下} - A_2$

绕行9周后（本例中 $q=3$ ），已经把 pq 个线圈串联起来，即完成了A相绕组的第一部分。此后，按同样方法完成A相的第二部分，其连接次序如下：

$A_3 - 1\text{下} - 28\text{上} - 19\text{下} - 10\text{上}$
 $\rightarrow 2\text{下} - 29\text{上} - 20\text{下} - 11\text{上}$
 $\rightarrow 3\text{下} - 30\text{上} - 21\text{下} - 12\text{上} - A_4$

在这里，当绕至第一组线圈末端10上时，应把合成节距减一个槽距后，才能联至2下。同理，绕至11上时，也要减一个槽距才能联至3下。

当然，上述连接不是唯一的方式，仔细观察图18-7可知，如果换一种绕法后，也可以使所有各组线圈之间的连接均靠人为地减一个槽距来实现。比较两种绕法，前一

繞法的优点为两部分間的联結沒有交叉，而後一繞法的优点为綫圈节距的參差性較少。

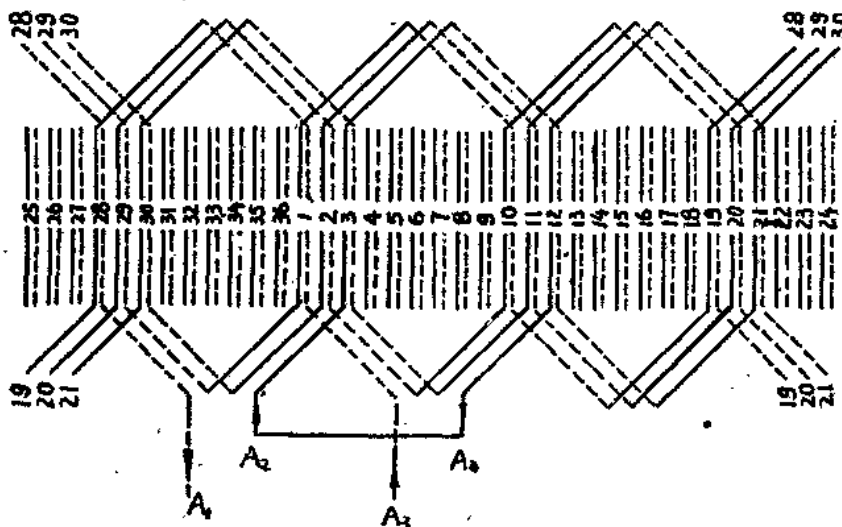


图 18—7 三相双层波繞組的又一繞法

第一部分和第二部分之間可以串联，也可以并联；視实际需要而定，串联时仅有一支路；并联时得到二支路。

在双层整数槽叠繞組里，每相的最大可能并联支路数等于电机极数 $2p$ ，因为此时每相每极下都有一个綫圈組，都可成为一条支路。在双层整数槽波繞組里，为了获得最大可能支路数 $2p$ ，必須采取所有綫圈的合成节距都放宽一个槽距，按这样連接，当繞了 q 个綫圈后，得到 q 个依次差一个槽距角 α 的电势向量相加，彷彿用了一个相带，因此得到电势相同的 $2p$ 条支路，可以并联起来。不过这种繞法并不正常，故实际上不常采用。

觀上述繞法，可以得出結論：不論在疊繞組或波繞組，所有同极性下的元件群正接，異极性下的元件群反接。

18—4 三相单层繞組

現代三相交流电机的定子繞組通常是做成双层的，单层繞組的制造工艺不便于大量生产，故应用不多。在小容量的三相电机，则有时采用单层繞組，在本节中将简要地論述三相单层繞組的特点。

三相单层繞組通常是做成整数槽的，这种繞組基本上可分成两大类：不等距元件的和等距元件的（图18—8）。

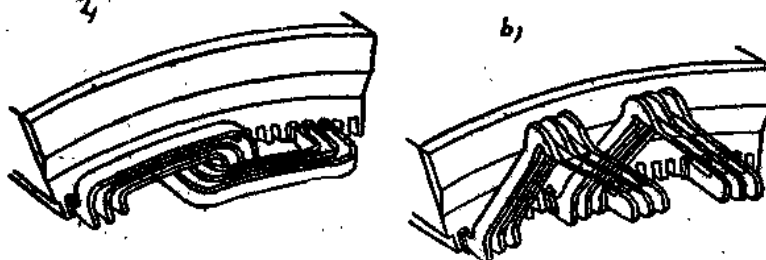


图 18—8 三相单层繞組

a—不等距元件的； b—等距元件的

1. 不等距元件的三相单层繞組 不等距元件的繞組也称同心式繞組，不同节距的綫圈（即元件）套心地一个放在另一个之内。因綫圈有不同的形状和长度，在构成繞組的并联支路时，須注意使各支

路的阻抗彼此相等。

在单层绕组里，每相在每对极下有一个线圈组，如极对数为 p ，则三相单层绕组共有 $3p$ 个线圈组。当 p 为偶数时，绕组有偶数个线圈组，线圈端部很容易布置在两个平面内。图 18-9，a 示 $p = 2$, $q = 2$, $Z = 24$ 的三相单层两平面同心式绕组，图 18-9，b 示两平面绕组的端部安排。观图可知，绕组的每一相包含着一个端部平直的线圈组和另一个端部弯曲的线圈组，故各相阻抗是相等的。

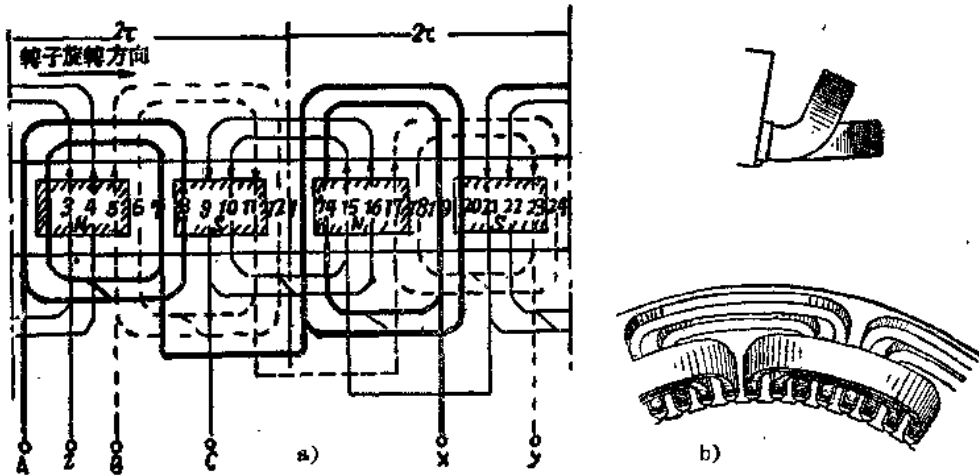


图 18-9 三相单层两平面同心式绕组

a—绕组展开图；b—绕组端部的安排

当 p 为奇数时，绕组有奇数个线圈组，将线圈端部布置在两个平面内需要有特殊的措施（用一个端部双重弯曲的线圈组），增加制造上的困难。此外，各相所包含的端部平直的和端部弯曲的线圈组的数目并不一致，因此三相阻抗也不平衡。由此可見两平面绕组应避免用于极对数为奇数的电机。

两平面绕组的优点在于端部只有两平面，可使电机不致太长。但因每一线圈组的外面几圈的端部连接过长，使绕组用铜较多，这一缺点，当电机极数少，极距 τ 和每相槽数 q 很大时，尤为显著。

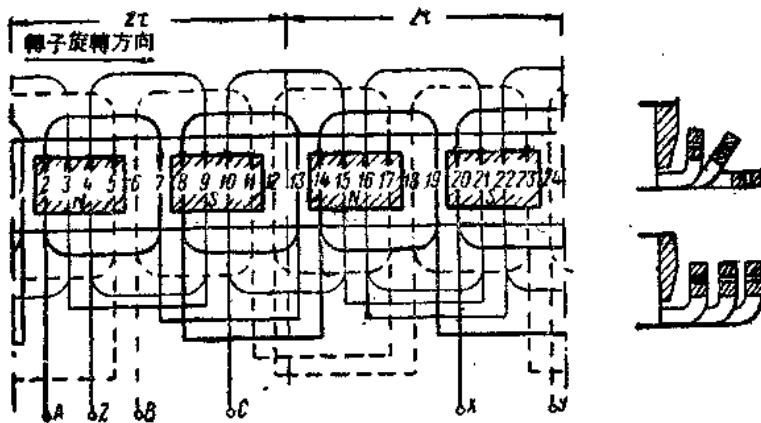


图 18-10 三相单层三平面绕组

为了免除上述两平面绕组的缺点，可采用三平面同心式绕组。这种绕组一般用于电机极数少，且 q 为偶数时。将绕组的每一个线圈组分成两个半组，线圈半组的总数增多了一倍，可将三个相绕组的端部分别安置在三个平面内。图 18-10 示三相单层三平面绕组的展开。这种绕组的缺点为端部伸出太多，致使电机太长，且修理不便。又每一相的绕组布置在一个平面内，因而三相阻抗是不平衡的。

2. 等距元件的三相单层绕组：等距元件的绕组可用链式绕组来代表。绕组的每一元件均作成由一长边和一短边所构成的梯形线圈，并将各线圈的端部适当地弯屈，使各不相犯，则可得到等距元件的单层绕组。由于所有线圈同一尺寸，因此可用模型拉制，生产方便。绕组端部较短，用铜较少。此外，各线圈组的阻抗相等，增多了可能并联的支路数。这是一种较为通用的三相单层绕组，常用于小容量的异步电动机中。

链式绕组的特点为元件节距等于奇数，使奇数槽中的元件边均为长边（或短边），偶数槽中的元件边均为短边（或长边），于是所有元件边一长一短地交错排列。图18-11示 $p = 3$, $q = 2$, $Z = 36$, $y = 5$ 的三相链式绕组的连接。图18-12示链式绕组的端部安排。

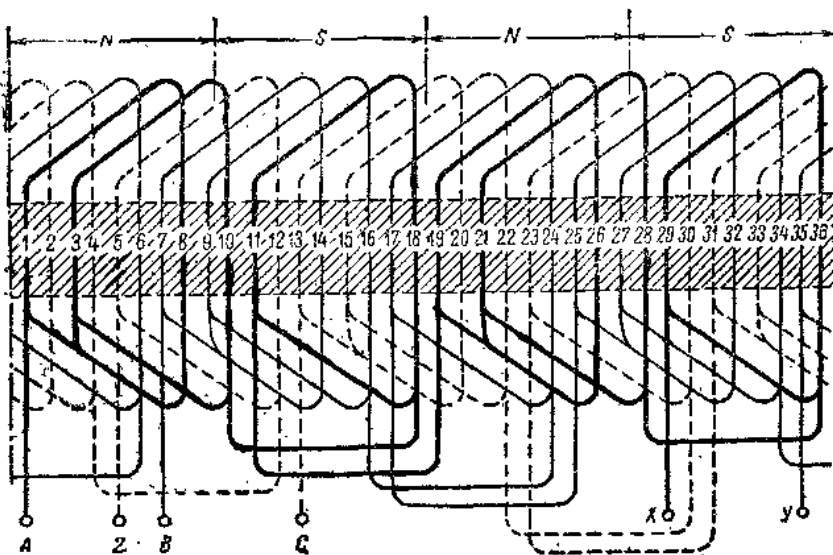


图 18-11 三相链式绕组的连接

链式绕组的节距可为整距，也可以为短距。当每极每相槽数 q 等于偶数时，极距 τ 等于偶数个槽距，而链式绕组的节距须表示为奇数（槽距单位），所以在这里就不可能等于 τ ，即此时绕组节距应采用短距。

18-5 单相交流绕组

小功率单相交流电动机在日常生活中，在试验室里，在自动控制系统中，应用得相当广泛，这些电动机的定子绕组多为单层绕组，其转子绕组多数为鼠笼绕组。作为动力用途的单相异步电动机大都属分相式，它的定子绕组具有一个主绕组和一个起动绕组，二者接至同一单相电源。作为控制用途的小功率异步电动机的定子上通常

装置一个激磁绕组和一个控制绕组，激磁绕组经常地接入单相交流电源，控制绕组则只当需要使转子转动时方加电压（即所谓信号）。这两类电动机的定子绕组实际上都是不对称的二相绕组，但就其中单独的一个绕组（如主绕组或激磁绕组）说来，则为单相绕组。

一个单相4极36槽电动机主绕组的线圈布置如图18-13所示，这里起动绕组未画

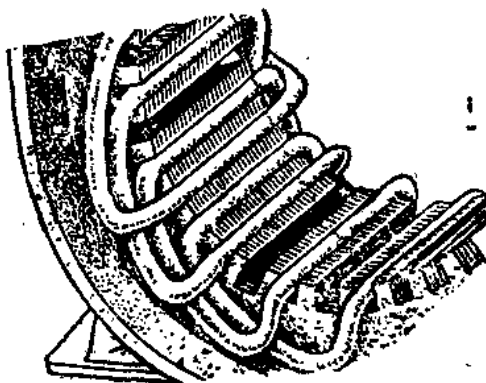


图 18-12 链式绕组的端部安排

上。又如图18—14中的实线表示单相6极24槽控制用途电动机的激磁绕组的连接，而它的控制绕组则只画出首端及尾端（如图中虚线）。小功率的单相电动机多用单层绕组，因槽截面很小，用双层绕组时，层间绝缘占了槽截面的部分相当大，这就减少了槽空间的利用率。功率较大的单相电动机则可应用双层绕组。

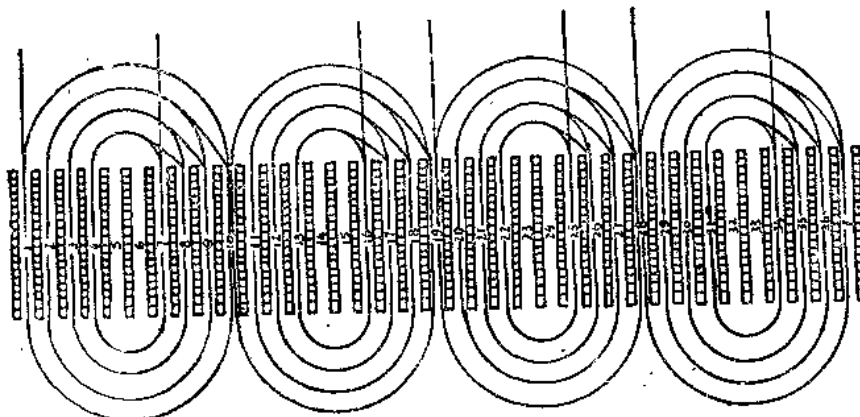


图 18—13 单相 4 极 30 槽电动机的主绕组

当选定了某一相绕组的若干槽数后，如采用不同绕法，使绕组元件边的连接次序变更，而所有串联的元件边的总数仍和原来一样，则可得与前相同的绕组电势，因电势的大小决定于所有串联元件边电势的合成值，而与元件边的连接次序无关。如图18—15 a 表示某一单相4极绕组的同心式绕法，图 b 表示另一种绕法。采用图 b 绕法可以得到相同的电势，但绕组端部短了很多，且各线圈宽度一律，故此法较好。

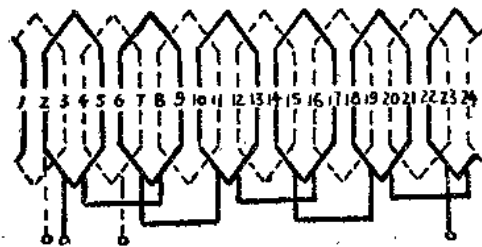


图 18—14 单相 6 极 24 槽控制用途电动机绕组的展开

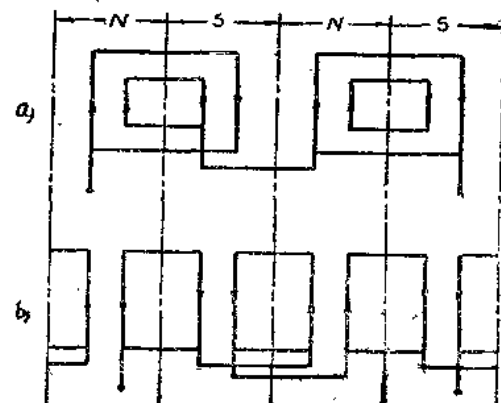


图 18—15 单相绕组的不同绕法

单相绕组至多只占有总槽数的约 $\frac{1}{3}$ ，占满全部槽数时，绕组电势增加不多，而用铜量和铜耗则显著提高，关于影响绕组相电势的各个因素将于以后几节里详细地讨论。

II、交流整数槽绕组的电势

18—6 在正弦分布磁场下的绕组电势

电机气隙中磁通密度的分布曲线称为磁场曲线。不论在同步电机或异步电机中，一般都力求使磁场曲线成为正弦形，在此情况下，电机绕组中感应电势随时间作正弦函数变化。同步电机的磁场通常系由转子上直流激磁绕组的磁势所激发。转子结构可分两种

基本型式：一种是隐极的，即转子上面没有显露的磁极；另一种是凸极的，即转子上有显露的磁极。一般异步电机的磁场是由定子方面的激磁磁势所激发，流进定子绕组的激磁电流为交流。

电机的磁场曲线实际上是略带平坦，并不完全呈正弦形，为了便于分析，可把磁场曲线分解成基波和一连串高次谐波。下面关于交流绕组感应电势的推导，是从正弦分布磁场下的绕组电势引伸到非正弦分布磁场下的电势；并首先从组成线匝的每根导线的电势出发，逐步引伸到每匝电势和元件电势，然后归结为绕组电势。又在下面的推导中，取凸极式同步电机定子绕组的感应电势作为例子，但导出的结果也适合于其它交流电机绕组的电势。

A. 每根导线的电势

图18—16为一只4极凸极式同步电机的示意图。A和X代表定子上相隔一个极距 τ 的两根导线，如将导线A和X联结起来，就组成一只整距的单匝线圈（即元件）。转子磁极上绕有激磁绕组，通入直流电后，产生激磁磁通。令转子以速度 n_1 转/秒旋转（在工程习惯上，转速往往用转/分表示），则导线A和X将感应电势。由电磁感应定律，可得导线中电势的瞬时值为：

$$e_{np} = l v B_x$$

式中 l 为导线处在磁场中的有效长度， v 为导线对磁场相对运动的线速度， B_x 为导线所在位置的磁通密度。 v 的值决定于 n_1 ，即 $v = \pi D n_1$ ，此处 D 代表导线所在位置的圆周的直径，一般取定子内直径。

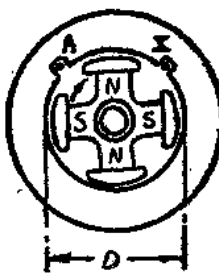


图18—16 4极同步电机示意图

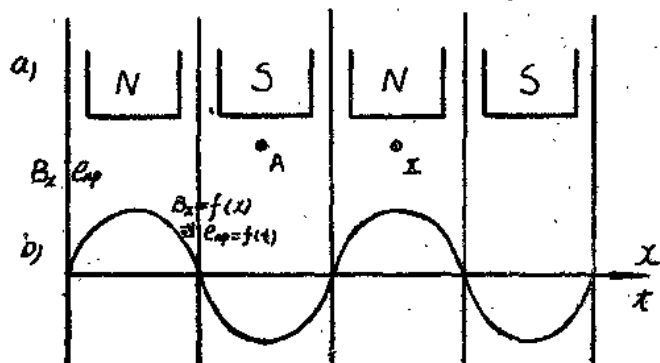


图18—17 4极同步电机的展开示意图
a—转子磁极与导线的相对位置；b—磁密分布曲线

通常电机中 l 是一定的，假如 n_1 保持不变，则 v 亦不变，故导线电势 e_{np} 正比于磁密 B_x 。设磁密在空间作正弦形分布，如展开图18—17 b，则导线瞬时电势 $e_{np} = f(t)$ 将随时间 t 作正弦函数变化。显然，当导线处于磁极轴线下时，电势最大，而当导线处在两极中间时（这位置称作几何中心线），电势为零。又导线X的电势 e_{npX} 在时间关系上较导线A的电势 e_{npA} 落后 180° （电角度）。

随时间作正弦变化的电势可用一旋转向量来表示，向量长度表示电势有效值，而它的旋转速度刚取决于电势变化的频率 $f = pn_1$ 赫，或向量的旋转角速度为 $\omega = 2\pi f = 2\pi pn_1$ 电弧度/秒。容易看到：转子每移一对极距 2τ 时，电势变化一周，而电势向量则转过 360 电角度（即 2π 电弧度），故可将一对极距所张的空间角度想像为 360 电角度。但实